



(11) RO 126334 B1

(51) Int.Cl.

F24J 2/38 (2006.01),

F24J 2/54 (2006.01)

(12)

BREVET DE INVENȚIE

(21) Nr. cerere: **a 2010 00676**

(22) Data de depozit: **29.07.2010**

(45) Data publicării mențiunii acordării brevetului: **30.05.2014** BOPI nr. **5/2014**

(41) Data publicării cererii:
30.05.2011 BOPI nr. **5/2011**

(73) Titular:

• UNIVERSITATEA "TRANSILVANIA" DIN
BRAŞOV, BD.EROILOR NR.29, BRAŞOV,
BV, RO

(72) Inventatori:

• VIŞA ION, STR.CLOŞCA NR.48, BRAŞOV,
BV, RO;
• DUȚĂ-CAPRĂ ANCA, STR.HĂRMANULUI
NR.15 A, BL.211, SC.C, ET.3, AP.8,
BRAŞOV, BV, RO;
• DIACONESCU DORIN,
STR.TUDOR VLAD/MIRESCU NR.36, BL.3,
AP.10, BRAŞOV, BV, RO;

• VĂTĂŞESCU MONICA,
STR. LĂCRĂMIOARELOR NR.5, BL.9, SC.A,
AP.17, BRAŞOV, BV, RO;

• HERMENEAN IOANA,
STRADA DE MIJLOC NR.150-152, SC.A,
AP.5, BRAŞOV, BV, RO;

• SĂULESCU RADU, STR.PANSELUȚEI
NR.10, BL.3, SC.A, ET.4, AP.17, CODLEA,
BV, RO;

• VELICU RADU, STRADA DE MIJLOC
NR.146, BL.10 C, ET.5, AP.24, BRAŞOV,
BV, RO;

• TOTU IOAN, PIATA SFATULUI NR.29,
AP.2, BRAŞOV, BV, RO

(56) Documente din stadiul tehnicii:

EP 2034251 A1; RO 125253 A2;
US 4108019; GR 1006107 B1

(54) **MECANISM DE ORIENTARE**

Examinator: ing. DEACONU ANCA



Orice persoană are dreptul să formuleze în scris și
motivat, la OSIM, o cerere de revocare a brevetului de
invenție, în termen de 6 luni de la publicarea mențiunii
hotărârii de acordare a acesteia

RO 126334 B1

1 Invenția se referă la un mecanism de orientare biaxială (după două axe), cu un singur
2 actuator de antrenare, destinat orientării de tip azimut-altitudine a unei platforme fotovoltaice,
3 cu scopul creșterii energiei solare captate.

4 Este cunoscut un mecanism de orientare biaxială, cu un singur actuator, descris în
5 cererea de brevet WO 2008/000867 A1, în care o mișcare de elevație (efectuată după o axă
6 orizontală) a unei platforme fotovoltaice mobile, de tip azimut-altitudine, este generată dintr-o
7 mișcare azimutală (după o axă verticală), prin intermediul unui mecanism patrulater spațial,
8 obținut prin articularea unui balansier la o ramă a platformei mobile și la bază; la rândul ei,
9 mișcarea azimutală a platformei este obținută cu ajutorul unui motoreductor sau al unui
10 mecanism echivalent. Adaptarea sezonieră a mecanismului spațial se realizează prin
11 reglarea, cu ajutorul unor dispozitive cu surub, a două dimensiuni: lungimea balansierului
12 dintre platformă și bază și distanța de la centrul articulației bază-balansier la axa verticală
13 a unui stâlp care susține platforma.

14 Este, de asemenea, cunoscut un mecanism cu camă spațială, descris în brevetul GR
15 1006107 B1, care transformă, cu ajutorul profilului unei came cilindrice fixe, o mișcare de
16 rotație azimutală, a unui arbore vertical, într-o translație verticală a unui tachet care, prin
17 intermediul unor bare articulate, generează mișcarea de elevație a platformei fotovoltaice.

18 Dezavantajele pe care le prezintă aceste mecanisme de orientare solară sunt:

19 - neprecizarea corelațiilor dintre principalele mărimi geometrice ale mecanismelor de
20 orientare, care să asigure maximizarea radiației solare captate, cu eliminarea tendințelor de
21 blocare din funcționarea mecanismului;

22 - un grad ridicat de complexitate constructivă, și o rigiditate relativ redusă, cauzate
23 de prezența celor două dispozitive de reglaj, în cazul cererii de brevet WO 2008/000867 A1
24 și, respectiv, de contactul liniar camă-tachet, în cazul brevetului GR 1006107 B1;

25 - dificultăți de reglare cauzate de interdependența celor două reglaje, în cazul cererii
26 de brevet WO 2008/000867 A1.

27 Problema tehnică pe care o rezolvă invenția constă în maximizarea energiei solare
28 captate de o platformă fotovoltaică, pentru un amplasament geografic dat, în condiții de
29 rentabilitate a sistemului de orientare.

30 Mecanismul de orientare, conform invenției, înlătură dezavantajele de mai sus prin
31 aceea că este alcătuit dintr-un stâlp vertical fix, o furcă, articulată pe capul stâlpului, care
32 efectuează o mișcare azimutală în jurul axei stâlpului prin intermediul unui actuator, o
33 platformă fotovoltaică, articulată la furcă printr-o policuplă de rotație a cărei axă orizontală
34 desemnează axa mișcării de elevație a platformei fotovoltaice, și un balansier conectat prin
35 câte o articulație de tip cardanic la platformă fotovoltaică și, respectiv, la un ax vertical
36 excentric și paralel față de stâlpul vertical, care transformă mișcarea azimutală a furcii în
37 mișcarea de elevație a platformei fotovoltaice, astfel încât să se asigure o eficiență ridicată de
38 captare a energiei solare, însotită de condiții geometrice favorabile de funcționare.

39 Avantajele invenției sunt următoarele:

40 - mecanismul de orientare are o construcție simplă și robustă, datorită eliminării
41 reglajelor;
42 - nu ridică dificultăți tehnologice și economice de realizare;
43 - mecanismul de orientare asigură o eficiență ridicată de captare a energiei solare,
44 și condiții geometrice favorabile de funcționare, prin utilizarea unor rapoarte între segmentele
45 mecanismului, stabilite pe baza datelor geo-meteorologice ale locației de amplasare;
46 - asigură interschimbabilitatea și înlocuirea ușoară a pieselor active.

47 Se prezintă, în continuare, un exemplu de realizare a mecanismului de orientare
conform invenției, în legătură cu fig. 1, 2, ... 20, ce reprezintă:

RO 126334 B1

<ul style="list-style-type: none"> - fig. 1, schemă semiconstructivă 3D a mecanismului de orientare; - fig. 2, schemă cinematică 3D a mecanismului de orientare; - fig. 3, reprezentare grafică a unghiului funcțional β_1; - fig. 4, reprezentare grafică a unghiului funcțional β_2; - fig. 5, reprezentare grafică a unghiului funcțional β_3; - fig. 6, curbe de variație ale raportului H în funcție de parametrul α_m^*; - fig. 7, exemplu de identificare, prin metoda grafică, a valorilor raportului H corespunzătoare unei latitudini date; - fig. 8, curbă de variație a raportului H în funcție de unghiul α_m^* pentru o latitudine dată; - fig. 9, curbe de variație ale raportului L în funcție de unghiul α_m^*, corespunzătoare unor valori discrete, impuse unghiului de funcționare β_{1M}; - fig. 10, curbe de variație ale raportului R în funcție de unghiul α_m^*, corespunzătoare unor valori discrete, impuse unghiului de funcționare β_{1M}, pentru $\beta_{3m} = 65^\circ$; - fig. 11, curbe de variație ale raportului R în funcție de unghiul α_m^*, corespunzătoare unor valori discrete, impuse unghiului de funcționare β_{1M}, pentru $\beta_{3m} = 60^\circ$; - fig. 12, curbe de variație ale raportului R în funcție de unghiul α_m^*, corespunzătoare unor valori discrete, impuse unghiului de funcționare β_{1M}, pentru $\beta_{3m} = 55^\circ$; - fig. 13, curbă de variație a soluțiilor H (H-verificat și H-neverificat); - fig. 14, curbe de variație ale soluțiilor L (L-verificat și L-neverificat); - fig. 15, curbe de variație ale soluțiilor R (R-verificat și R-neverificat) pentru $\beta_{3m} = 65^\circ$; - fig. 16, curbe de variație ale soluțiilor R (R-verificat și R-neverificat) pentru $\beta_{3m} = 60^\circ$; - fig. 17, curbe de variație ale soluțiilor R (R-verificat și R-neverificat) pentru $\beta_{3m} = 55^\circ$; - fig. 18, exemplu de variație a elevației α^* pentru o variație în trepte cu o perioadă de o oră a azimutului ψ^* al platformei fotovoltaice; - fig. 19, curbe de variație ale eficienței η_c de captare a radiației solare directe în funcție de α_m^*; - fig. 20, algoritm de stabilire a rapoartelor H, R și L optime. <p>Mecanismul de orientare conform inventiei, în legătură cu fig. 1 și 2, este alcătuit dintr-un stâlp 0 vertical fix, în vîrful căruia este articulată o furcă 1, care efectuează o mișcare ψ^* azimutală, în jurul axei stâlpului, prin intermediul unui actuator 1' (pentru exemplificare, în fig. 1 și 2 s-a reprezentat numai o roată melcată, solidară cu furca 1, dintr-un actuator rotativ melcat). De furca 1 este articulată o platformă 2 fotovoltaică, printr-o policuplă 1-2 de rotație, a cărei axă A-A este perpendiculară pe stâlp și desemnează axa unei mișcări α^* de elevație sau altitudine a platformei fotovoltaice. Mișcarea α^* de elevație este generată din mișcarea ψ^* azimutală, prin intermediul unui balansier 3, conectat, printr-o articulație a de tip cardanic, la platforma fotovoltaică și, respectiv, printr-o articulație b de tip cardanic, la un ax 4 vertical, articulat excentric și paralel față de stâlpul 0.</p> <p>Mecanismul de orientare conform inventiei, în legătură cu fig. 1-20, asigură o eficiență ridicată (M. M. Vătășescu, D. Diaconescu, <i>The clean energy response of PV systems with azimuth and pseudo-equatorial tracking</i>, Environmental Engineering and Management Journal, Vol. 10/2011, pp. 1395-1406) a energiei solare captate de platformă fotovoltaică, și evitarea tendințelor de blocare din funcționarea mecanismului, prin utilizarea unor rapoarte: $H = h/e$, $R = r/e$, $L = l/e$ (în care $h=cd$, $r=ad$, $l=ab$, $e=bc$), determinate pe baza unui algoritm cu 5 etape principale (fig. 20).</p> <p>Aplicarea acestui algoritm este exemplificată, în continuare, în premsa amplasării platformei fotovoltaice într-o locație situată la latitudinea $\varphi = 45,6^\circ$ N, caracterizată de un coeficient de turbiditate $Tr \approx 3$ (fig. 20) (M. M. Vătășescu, D. Diaconescu, A. Duță, B.G.</p>	1 3 5 7 9 11 13 15 17 19 21 23 25 27 29 31 33 35 37 39 41 43 45 47
---	---

1 Burduhos: *Atmospheric Pollution Evaluation in Brasov Romania Based on Turbidity Factor*
 2 Analysis, Environmental Engineering and Management Journal, Februarie 2011, Vol. 10, No.
 3 2, pp. 251-256).

EXEMPLU DE CALCUL

INTRĂRI:

1 7 Schema structurală a unui mecanism patrulater mono-mobil, spațial, biaxial, de tip
 8 azimut-altitudine (fig. 1 și 2), având dimensiunile elementelor (h , r , l , e) necunoscute.

9 2 Legea de mișcare a mecanismului (în forma ei explicită și implicită) prin care
 10 mișcarea de elevație α^* (altitudinală) este generată din mișcarea diurnă, independentă ψ^*
 11 (azimutală) (fig. 18):

$$12 \text{ forma implicită: } 2r(e \cdot \sin \alpha^* \cdot \cos \psi^* + h \cdot \cos \alpha^*) + l^2 - r^2 - e^2 - h^2 = 0 \quad (1)$$

$$15 \text{ forma explicită: } \alpha^* = 2 \tan^{-1} \left(\frac{a \pm \sqrt{a^2 + b^2 - c^2}}{b + c} \right) \quad (2)$$

17 în care

$$19 a = 2 \cdot \frac{r \cdot \cos \psi^*}{e}; b = \frac{2h \cdot r}{e^2}; c = \frac{r^2 + h^2 + e^2 - l^2}{e^2} \quad (2'), (2''), (2''')$$

21 3. Condițiile geometrice de funcționare prin care se asigură evitarea tendințelor de
 22 blocare:

25 pentru unghiul de funcționare 1 (β_1 , fig. 3):

$$27 |\beta_1| = \left| \cos^{-1} \left(\frac{H \sin \alpha^* - \cos \alpha^* \cdot \cos \psi^*}{L} \right) \right| \leq 55^\circ \quad (3)$$

29 pentru unghiul de funcționare 2 (β_2 , fig. 4):

$$33 |\beta_2| = \left| \cos^{-1} \left(\frac{\sin \psi^*}{L} \right) \right| \geq 35^\circ \quad (4)$$

35 pentru unghiul de funcționare 3 (β_3 , fig. 5):

$$39 |\beta_3| = \left| \cos^{-1} \left(\frac{H - R \cos \alpha^*}{L} \right) \right| \leq 65^\circ \quad (5)$$

41 4. Datele geo-meteorologice ale locației de implementare: latitudinea ϕ și variația
 43 lunări a factorului de turbiditate Tr (<http://re.jrc.ec.europa.eu/pvgis/apps3/pvest.php>); pentru
 45 cazul considerat, se adoptă valoarea $Tr \approx 3$.

47 5. Valorile extreme ale unghiurilor de orientare care asigură o eficiență ridicată de
 48 captare a energiei solare. Se consideră ca reprezentative valorile din zilele de echinoctiu:
 49 $\psi^*_m = 90^\circ$; $\psi^*_M = 0^\circ$; $\alpha^*_M = (90^\circ - \phi)$ și $\alpha^*_m = 0^\circ \dots \sim 0,7\alpha^*_M$, în care indicele M se referă la
 50 momentul amiezii, iar m, la momentul de răsărit/apus.

IEŞIRI:

Valorile rapoartelor $H = h/e$, $R = r/e$, $L = l/e$ care, pentru locația de amplasare a platformei, asigură:

- a) o eficiență ridicată de captare a energiei solare de către platforma fotovoltaică;
- b) eliminarea tendințelor de blocare;
- c) siguranță ridicată, unghiuri de funcționare și gabarit favorabile.

Etapa I (vezi fig. 20)

Se trasează o familie de curbe care descriu variațiile raportului H (fig. 6) în domeniul de latitudini $\phi = 0^\circ - 90^\circ$ N, pentru valori discrete ale unghiului α_m^* (unghiul de elevație al platformei fotovoltaice la răsărit/apus), alese astfel încât: $\alpha_m^* = \alpha_m^* i = (i-1) \cdot 5^\circ$, în care $i = 1, 2, 3, \dots, \sim 0,7 \alpha_M^*/5$; în consecință, α_m^* se stabilește în intervalul $0^\circ \dots 35^\circ$: $\alpha_m^* \in \{0^\circ, 5^\circ, 10^\circ, 15^\circ, 20^\circ, 25^\circ, 30^\circ, 35^\circ\}$.

Trasarea curbelor de variație ale raportului H se realizează cu ajutorul relației (6) dedusă din relația (1); în fig. 6 și 7 sunt traseate curbe de variație a raportului H în domeniul $0^\circ - 90^\circ$ N, pentru $\alpha_m^* = 0^\circ, 5^\circ, 10^\circ, 15^\circ, 20^\circ, 25^\circ, 30^\circ, 35^\circ$.

$$H(\phi) = \frac{\sin \alpha_m^* \cdot \cos \psi_m^* - \sin \alpha_m^* \cdot \cos \psi_m^*}{\cos \alpha_m^* - \cos \alpha_m^*} \quad (6)$$

În fig. 7 s-a trazat o verticală corespunzătoare latitudinii considerate $\phi = 45,6^\circ$ N, și s-au obținut (prin intersecția curbelor traseate anterior) valorile raportului H , corespunzătoare valorilor discrete α_m^* .

Pentru a surprinde întregul domeniu de soluții aferent latitudinii de implementare, în fig. 8 s-a trazat curba de variație a raportului H pentru latitudinea $\phi = 45,6^\circ$ N în funcție de $\alpha_m^* = 0^\circ, 1^\circ, 2^\circ, 3^\circ, \dots, 30^\circ$. Curba din fig. 8 este denumită „H-neverificat” deoarece oferă soluții care asigură obținerea unghiurilor de orientare impuse, fără a garanta îndeplinirea simultană și a condițiilor de evitare a blocării; soluțiile raportului H care asigură evitarea tendințelor de blocare urmează să fie identificate, după determinarea rapoartelor R și L , pe baza condițiilor (3), (4) și (5) (D. Diaconescu, ş.a., *The Optimization of a Bi-Axial Adjustable Mono-Actuator PV Tracking Spatial Linkage*, New Trends in Mechanism Science, Analysis And Design, volume 5, Springer Science & Media 2010, pp. 181-188, ISBN 978-90-481-9689-0).

Etapa a II-a (vezi fig. 20)

Pentru amiază zilelor de echinocți, se impune ca modulul unghiului de funcționare să atingă pe rând valorile minime: $|\beta_1| = 15^\circ, 10^\circ, 5^\circ, 0^\circ$; pe baza acestor restricții, se determină valorile raportului L (cu ajutorul relației (7), dedusă din (3)), utilizând soluțiile raportului H determinate în etapa I și sistematizate în fig. 8:

$$L(\alpha_m^*) = \frac{H \sin \alpha_m^* - \cos \alpha_m^* \cdot \cos \psi_m^*}{\cos \beta_1} \quad (7)$$

în care $\alpha_m^* = \phi$ (echinocți) și $\psi_m^* = 0^\circ$ (amiază).

Prin aplicarea relației (7) se obțin curbe de variație ale raportului L (fig. 9), în funcție de α_m^* (pentru latitudinea considerată: $\phi = 45,6^\circ$ N), care asigură la amiază zilelor de echinocți valori minime ale unghiului de funcționare 1 în domeniul $0^\circ, \dots, \pm 15^\circ$; prin analogie, aceste curbe sunt denumite „L-neverificat”.

1 Etapa a III-a (vezi fig. 20)

Pentru momentele de răsărit/apus, din zilele de echinocți, se impune ca unghiul de funcționare $3|\beta_3|$ să atingă pe rând valori maxime de: 55° , 60° , 65° ; pe baza acestor restricții, se determină valorile raportului R (cu ajutorul relației (8), dedusă din (5)), utilizând seturile de soluții (H , L , α^*_m) determinate în etapele precedente:

$$7 \quad R(\alpha^*_m) = \frac{H - L \cos \beta_3}{\cos \alpha^*_m} \quad (8)$$

9 Se obțin astfel curbe de variație ale raportului L (fig. 10 pentru $|\beta_3| = 65^\circ$, fig. 11
11 pentru $|\beta_3| = 60^\circ$ și fig. 12 pentru $|\beta_3| = 55^\circ$), în funcție de α^*_m (pentru latitudinea considerată:
13 $\phi = 45,6^\circ N$), care asigură la răsăritul/apusul zilelor de echinocți valori maxime ale unghiului de funcționare 3, în domeniul $55^\circ \dots 65^\circ$; prin analogie cu fig. 8 și 9, și aceste curbe sunt denumite „R-neverificat”.

Etapa a IV-a (vezi fig. 20)

15 Pentru seturile de soluții (H , R , L , α^*_m) obținute în etapele precedente, se calculează
17 unghiurile de funcționare β_1 , β_2 și β_3 , se verifică îndeplinirea restricțiilor (3), (4), (5) și se rețin
19 soluțiile (H , R , L , α^*_m) care asigură evitarea tendințelor de blocare: $\beta_1 \leq 55^\circ$, $\beta_2 \geq 35^\circ$, $\beta_3 \leq 65^\circ$.

21 Soluțiile reținute sunt ilustrate grafic prin curbele continue suprapuse curbelor „neverificate” de variație a rapoartelor H, R și L (fig. 13, 14, 15, 16 și 17), și reprezintă clasa de valori (H , R , L , α^*_m) ce realizează unghiurile de orientare impuse, și evită tendințele de blocare în funcționare. Rezultatele acestei etape sunt sistematizate în fig. 13-17.

Etapa a V-a (vezi fig. 20)

23 Pentru seturile de soluții (H , R , L , α^*_m) decelate în etapa precedentă, se determină valorile eficienței anuale de orientare pe baza relațiilor (9), (9') și (9'') (Meliss M.: *Regenerative Energie-quellen Praktikum*, Berlin Heidelberg, Springer, 1997), prezentate în algoritmul general de sinteză din fig. 20:

$$27 \quad \eta = E_{B,PV}/E_{B,S} \quad (9)$$

$$29 \quad E_{B,PV} = \int B_{B,PV} dt, B_{PV} = B_s \cdot [\sin \alpha \sin \alpha^* + \cos \alpha \cos \alpha^* \cos(\psi - \psi^*)] \quad (9')$$

$$33 \quad E_{B,S} = \int B_{B,S} dt, B_S = 1367 \cdot [1 + 0,0334 \cdot \cos(0,9856 \cdot N - 2,72)] \exp\left(-\frac{Tr}{0,9 + 9,4 \sin \alpha}\right) \quad (9'')$$

35 unde: N reprezintă numărul zilei din an; Tr = 3 factorul de turbiditate pentru zona
37 Brașov/România (M. M. Vătășescu, D. Diaconescu, A. Duță, B.G. Burduhos: *Atmospheric
39 Pollution Evaluation in Brasov Romania Based on Turbidity Factor Analysis*, Environmental
Engineering and Management Journal, Februarie 2011, Vol. 10, No. 2, pp. 251-256); α -
41 altitudinea razei solare; α^* - altitudinea (elevația) platformei fotovoltaice, orientată prin-tr-un
43 mecanism conform inventiei, descrisă prin relația (2); ψ - azimutul razei solare; ψ^* - azimutul
razei solare ψ (fig. 18).

45 În calculul acestei eficiențe, pentru azimutul ψ^* al platformei fotovoltaice s-a
47 considerat o lege de variație în pași, cu o perioadă de o oră, având ca linie mediană variația azimutului ψ al razei solare (fig. 19). Rezultatele obținute pentru eficiența de orientare sunt ilustrate grafic prin curbele de variație din fig. 19.

RO 126334 B1

IEŞIRE (vezi fig. 20)

Se deținează setul optim de valori (H , R , L , α^*_m) care corespunde soluției cu o eficiență de captare ridicată, valori cât mai avantajoase pentru unghiurile de funcționare β_1 , β_2 și β_3 (care asigură un nivel maxim de siguranță pentru funcționarea mecanismului), rigiditate ridicată și gabarit relativ redus. În cazul exemplificat, în conformitate cu fig. 19, soluția (H , R , L , α^*_m) optimă, pentru condițiile geoclimatice ale zonei Brașov/România, este:

$$(H, R, L, \alpha^*_m)_{\text{Brasov}} = (3,2893; 2,5659; 1,5869; 22^\circ)$$

α^*_m (răsărit/apus)	22°
H	3,2893
L ($ \beta_{1M} = 15$)	1,5869
R ($ \beta_{1M} = 15$; $\beta_{3m} = 55$)	2,5659
$\beta_2 [^\circ]$	50,94
eficiență de captare a radiatiei directe	96,05

În mod similar se procedează și pentru altă locație de amplasare.

3 1. Mecanism de orientare, **caracterizat prin aceea că** este alcătuit dintr-un stâlp (0) vertical fix, o furcă (1) articulată pe capul stâlpului (0), care efectuează o mișcare (ψ^*) azimutală în jurul axei stâlpului (0), prin intermediul unui actuator (1'), o platformă (2) fotovoltaică, articulată la furcă (1) printr-o policuplă de rotație, a cărei axă (A-A) orizontală desemnează axa (α^*) mișcării de elevație a platformei (2) fotovoltaice, și un balansier (3) conectat prin câte o articulație (a, b) de tip cardanic la platformă (2) fotovoltaică și, respectiv, la un ax (4) vertical excentric și paralel față de stâlpul (0) vertical, care transformă mișcarea (ψ^*) azimutală a furcii (1) în mișcare (α^*) de elevație a platformei (2) fotovoltaice, astfel încât să se asigure o eficiență ridicată de captare a energiei solare, însotită de condiții geometrice favorabile de funcționare.

13 2. Mecanism de orientare, conform revendicării 1, **caracterizat prin aceea că**, pentru captarea cu o eficiență ridicată a energie solare de către platformă (2) fotovoltaică, cu eliminarea tendințelor de blocare din funcționarea mecanismului, rapoartele geometrice optime între segmentele mecanismului patrulater spațial sunt determinate cu ajutorul unui algoritm, pe baza datelor geoclimatice ale locației de amplasare, și sunt notate astfel: $H = h/e$, $R = r/e$, $L = l/e$, în care $h = dc$ este distanța de la centrul articulației (b) inferioare de tip cardanic și axa (A-A) mișcării de elevație, $r = ad$ este distanța de la centrul articulației (a) superioare de tip cardanic și axa (A-A) mișcării de elevație, $l = ab$ este distanța dintre articulațiile (a, b) de tip cardanic, și $e = bc$ este distanța de la centrul articulației (b) inferioare de tip cardanic și axa mișcării azimutale.

23 3. Mecanism de orientare, conform revendicării 2, **caracterizat prin aceea că** algoritmul utilizat pentru determinarea valorilor optime ale rapoartelor H, R, L constă în:

25 - determinarea unei multimi de valori inițiale ale raportului H, pe baza funcției de transmitere a mecanismului patrulater și a unor valori particulare ale unghiurilor care descriu mișcarea (ψ^*) azimutală și mișcarea (α^*) de elevație, prin care se asigură o eficiență ridicată de captare a energiei solare;

29 - determinarea unei multimi de valori inițiale ale raportului L, pentru valorile inițiale ale raportului H, din condiția realizării unor valori minime impuse, cuprinse între 0 și 15°, pentru un unghi de funcționare format de axa balansierului și normala la platformă (2) fotovoltaică, în momentul amiezii din zilele de echinoctiu;

33 - determinarea unei multimi inițiale ale raportului R, pentru seturile de valori obținute anterior pentru rapoartele H și L, din condiția realizării unor valori maxime impuse, cuprinse între 55 și 65°, pentru un unghi de funcționare format de axa balansierului și o axă verticală, în momentele de răsărit/apus ale zilelor de echinoctiu;

37 - identificarea seturilor de valori ale rapoartelor H, L, R, dintre valorile obținute în etapele precedente, valori care asigură evitarea tendințelor de blocare în funcționare;

39 - determinarea valorilor eficienței anuale de orientare, pentru seturile de valori H, L, R, identificate în etapa precedentă, eficiență anuală care este definită ca raport între energia anuală a radiației receptate de platformă (2) fotovoltaică și energia anuală a radiației solare disponibile în locația de amplasare, adoptând pentru azimutul (ψ^*) platformei (2) fotovoltaice o variație în trepte care să aproximeze satisfăcător variația azimutului (ψ) razei solare;

45 - stabilirea setului optim de valori H, L, R, prin decelarea setului de valori care asigură o eficiență de orientare ridicată, valori cât mai avantajoase pentru unghiurile de funcționare, rigiditate ridicată și gabarit relativ redus.

RO 126334 B1

(51) Int.Cl.

F24J 2/38 (2006.01).

F24J 2/54 (2006.01)

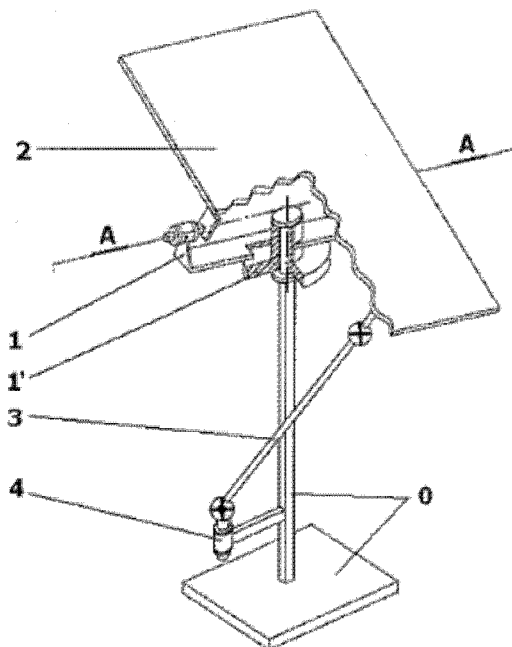


Fig. 1

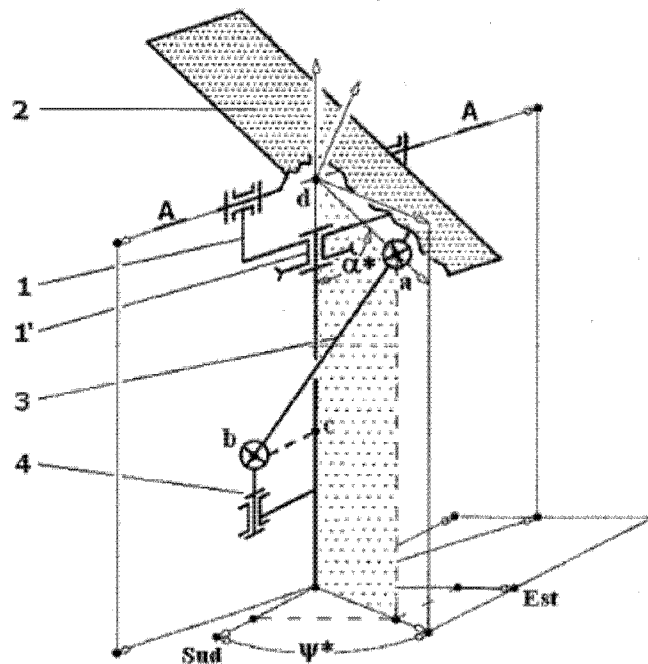


Fig. 2

RO 126334 B1

(51) Int.Cl.
F24J 2/38 (2006.01),
F24J 2/54 (2006.01)

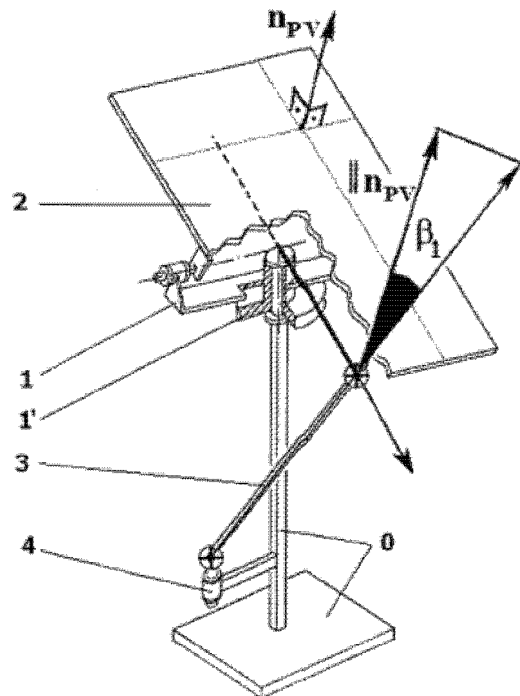


Fig. 3

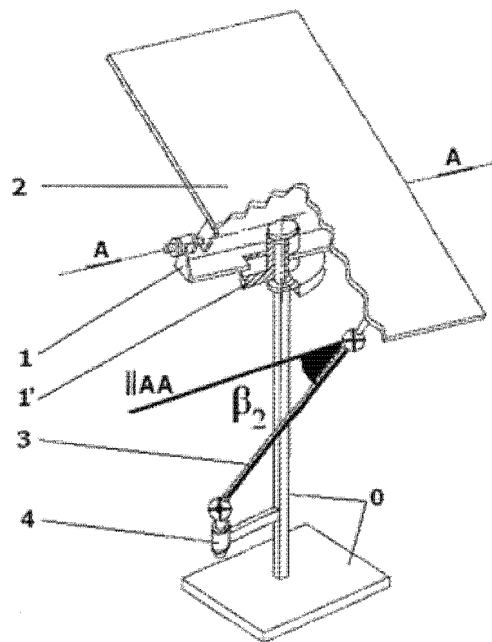


Fig. 4

RO 126334 B1

(51) Int.Cl.

F24J 2/38 (2006.01).

F24J 2/54 (2006.01)

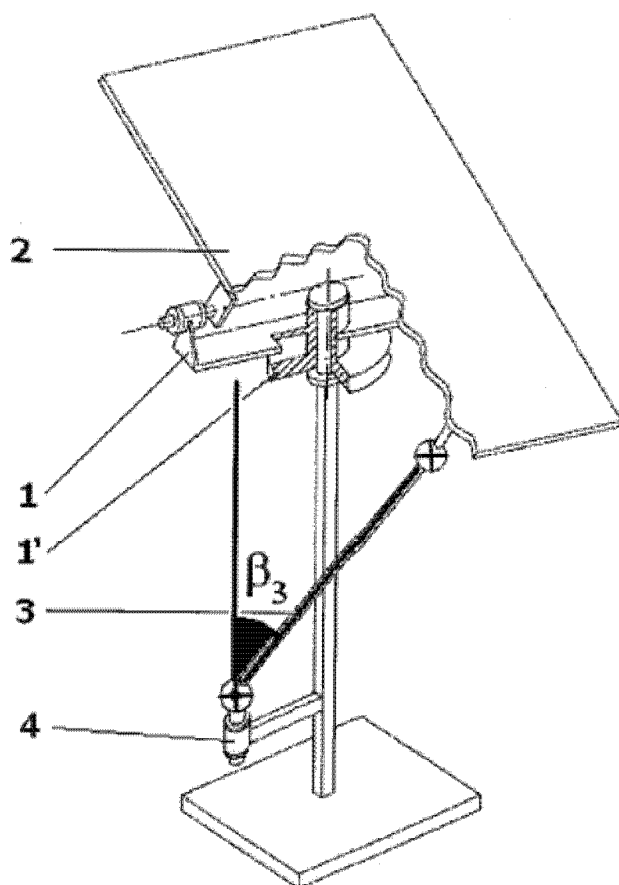


Fig. 5

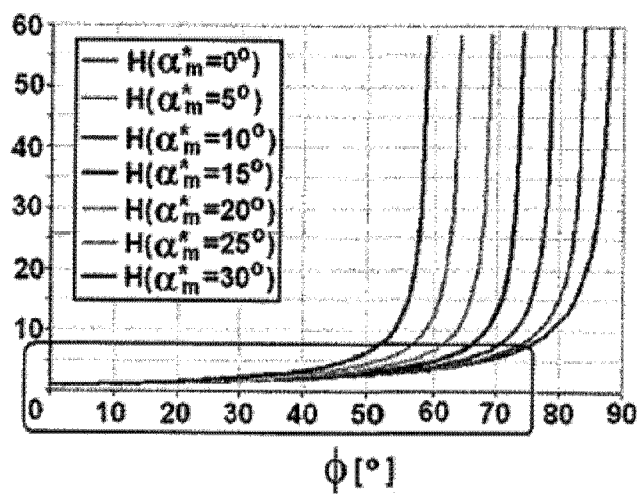


Fig. 6

RO 126334 B1

(51) Int.Cl.

F24J 2/38 (2006.01),

F24J 2/54 (2006.01)

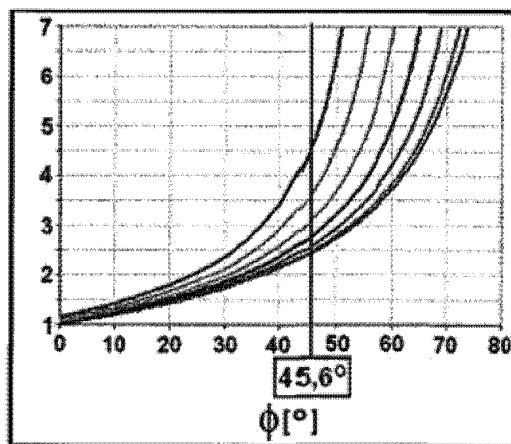


Fig. 7

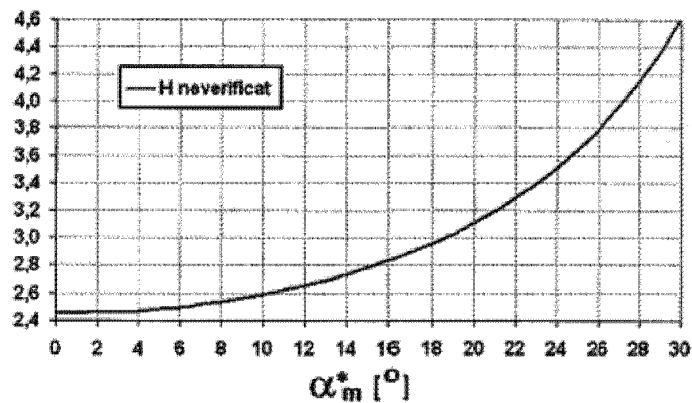


Fig. 8

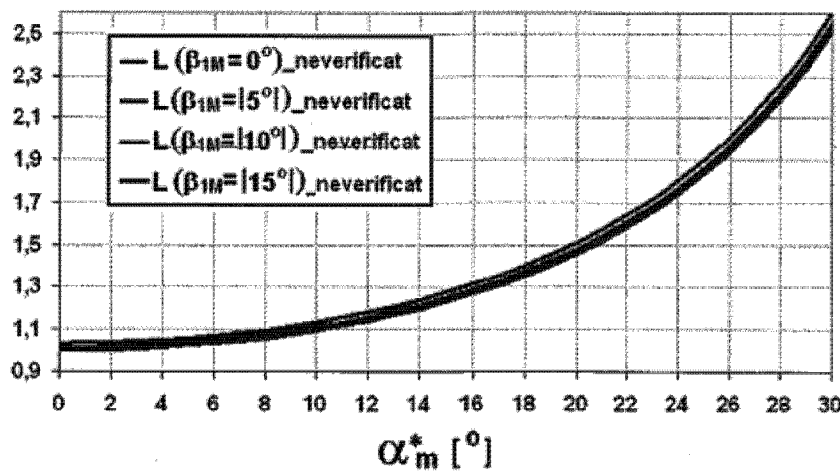


Fig. 9

RO 126334 B1

(51) Int.Cl.

F24J 2/38 (2006.01).

F24J 2/54 (2006.01)

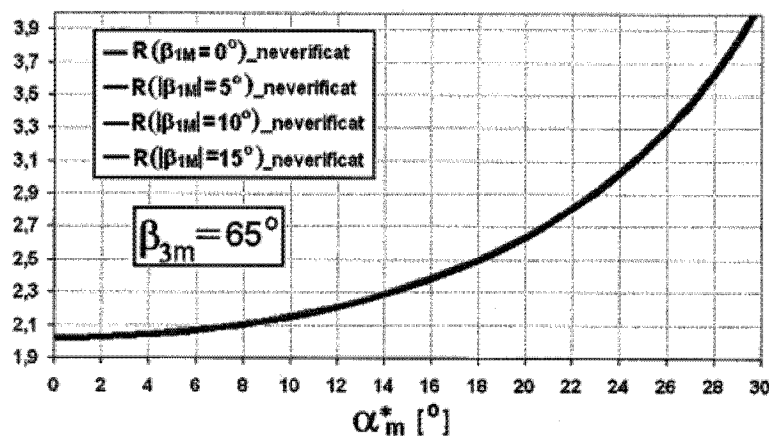


Fig. 10

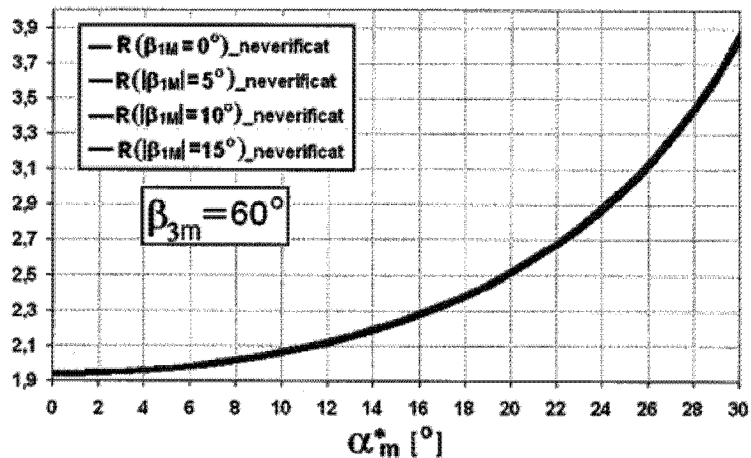


Fig. 11

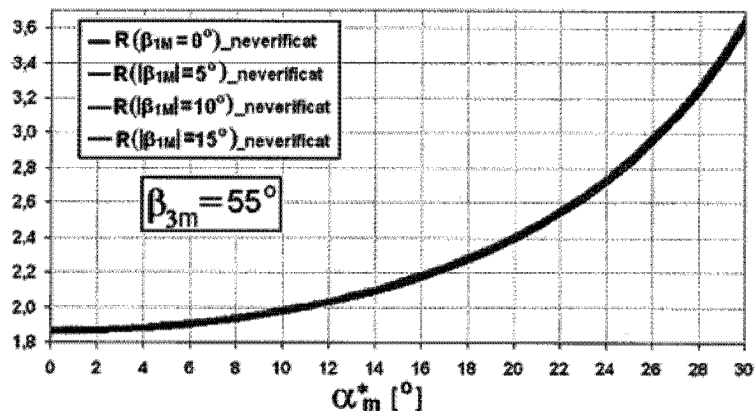


Fig. 12

RO 126334 B1

(51) Int.Cl.

F24J 2/38 (2006.01),

F24J 2/54 (2006.01)

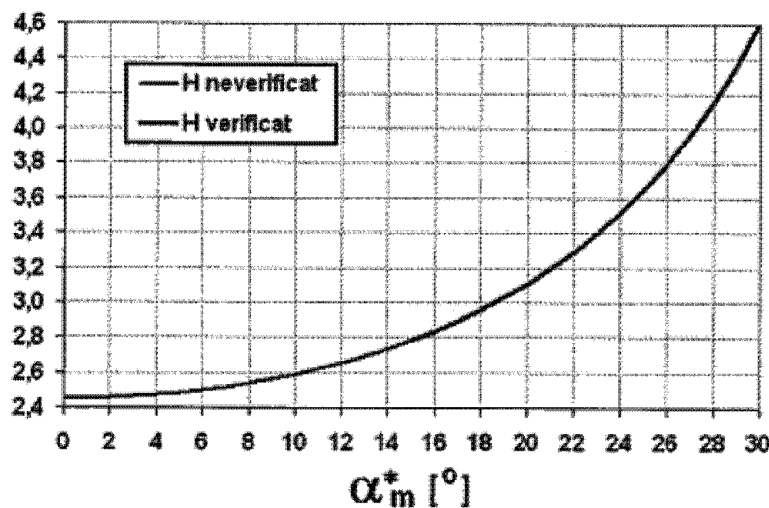


Fig. 13

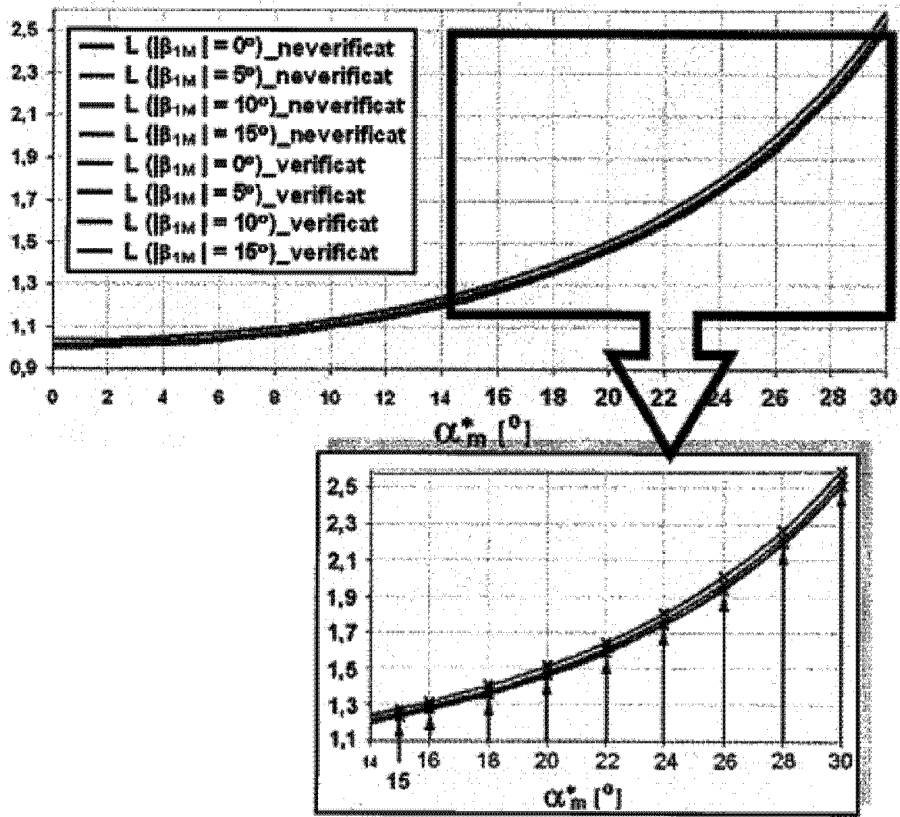


Fig. 14

RO 126334 B1

(51) Int.Cl.

F24J 2/38 (2006.01).

F24J 2/54 (2006.01)

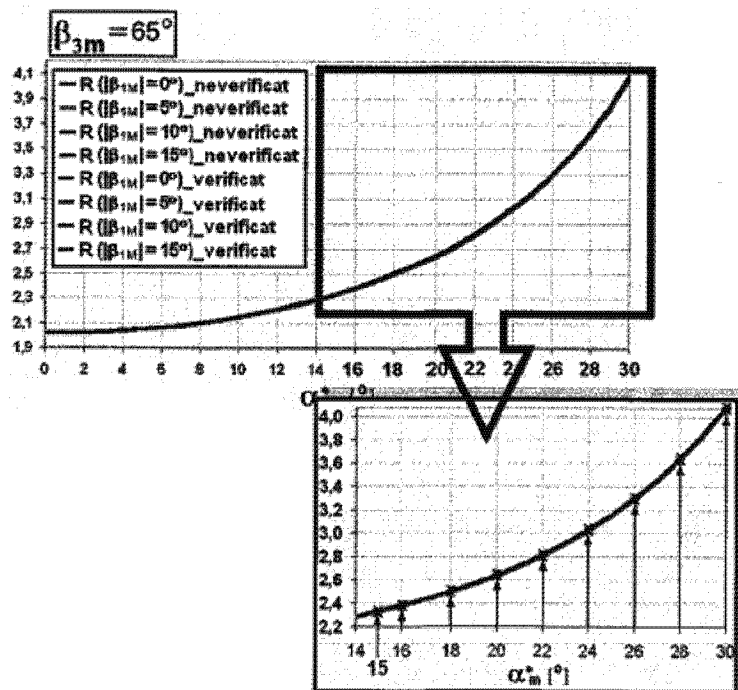


Fig. 15

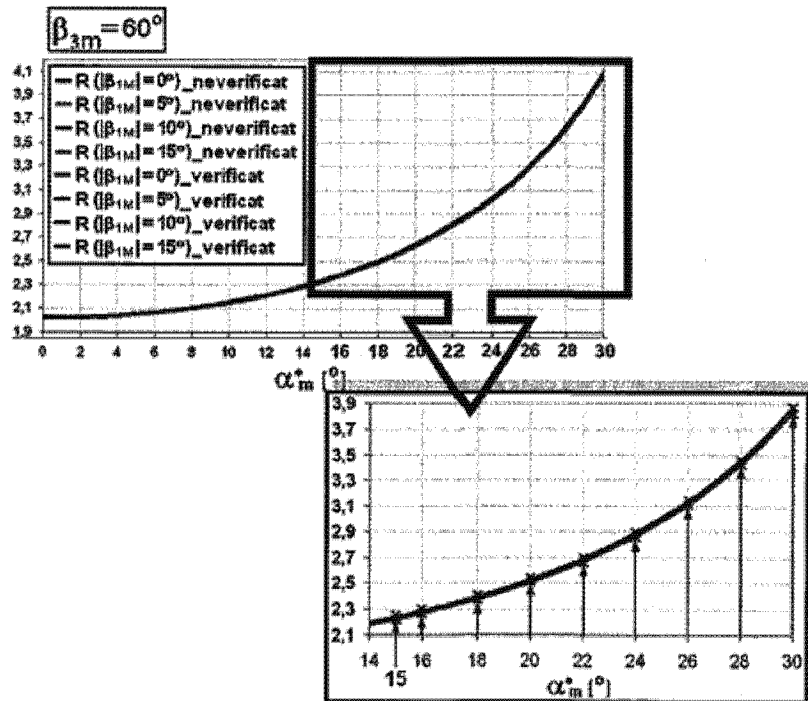


Fig. 16

RO 126334 B1

(51) Int.Cl.

F24J 2/38 (2006.01).

F24J 2/54 (2006.01)

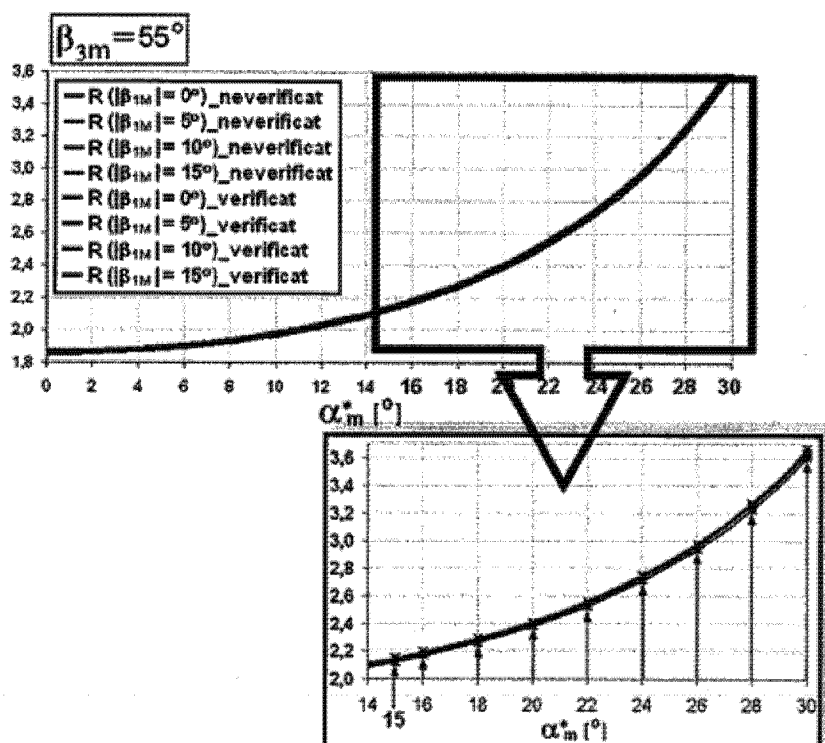


Fig. 17

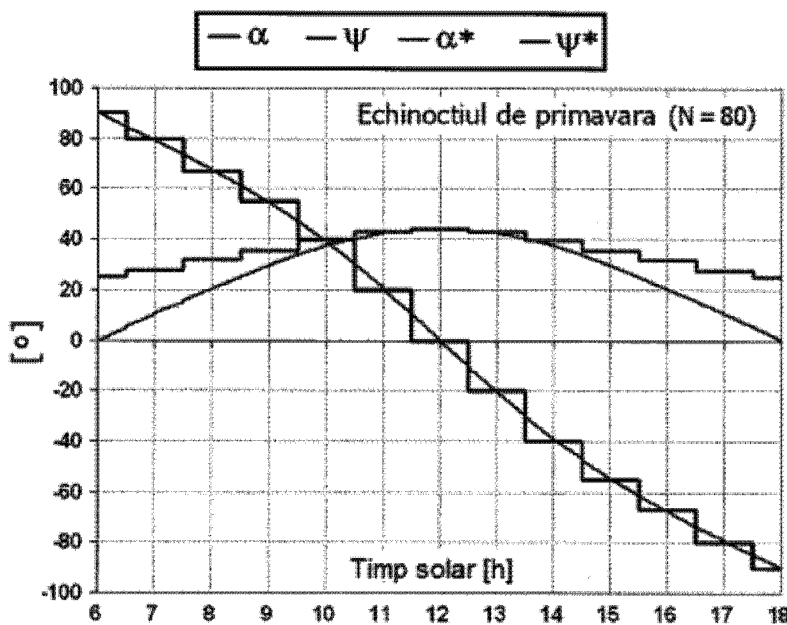


Fig. 18

RO 126334 B1

(51) Int.Cl.

F24J 2/38 (2006.01).

F24J 2/54 (2006.01)

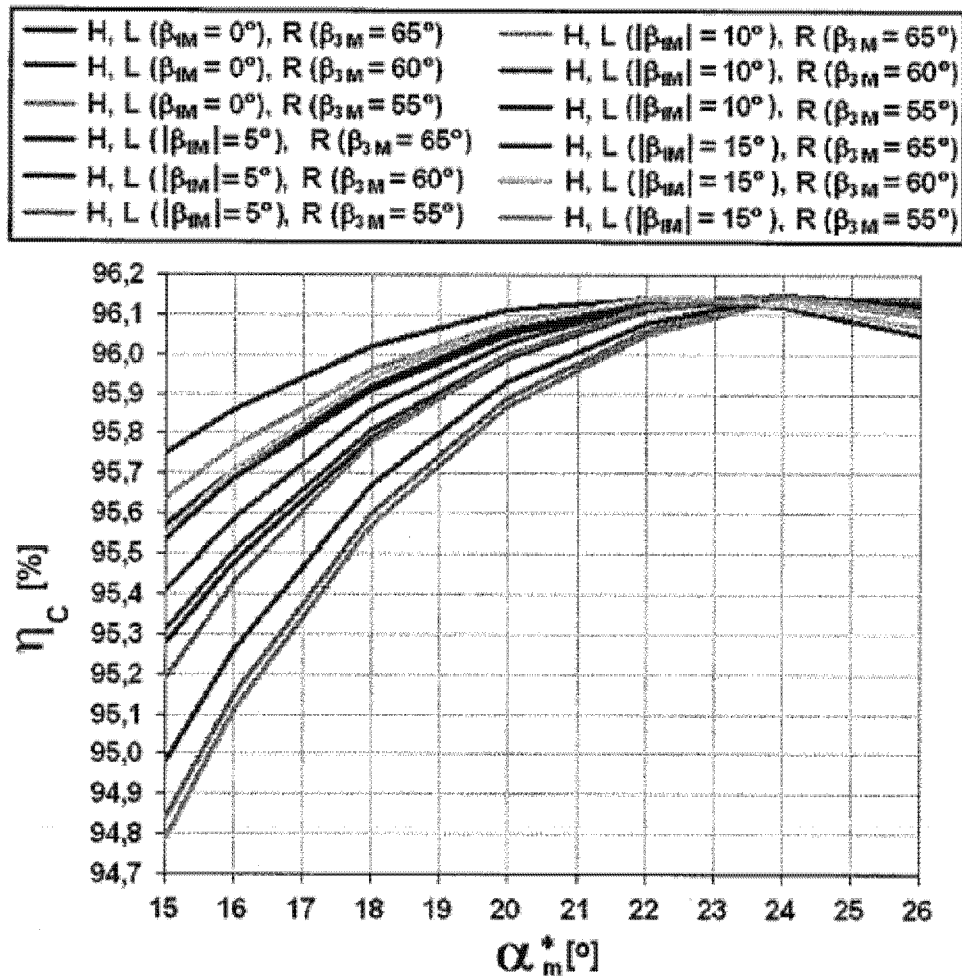


Fig. 19

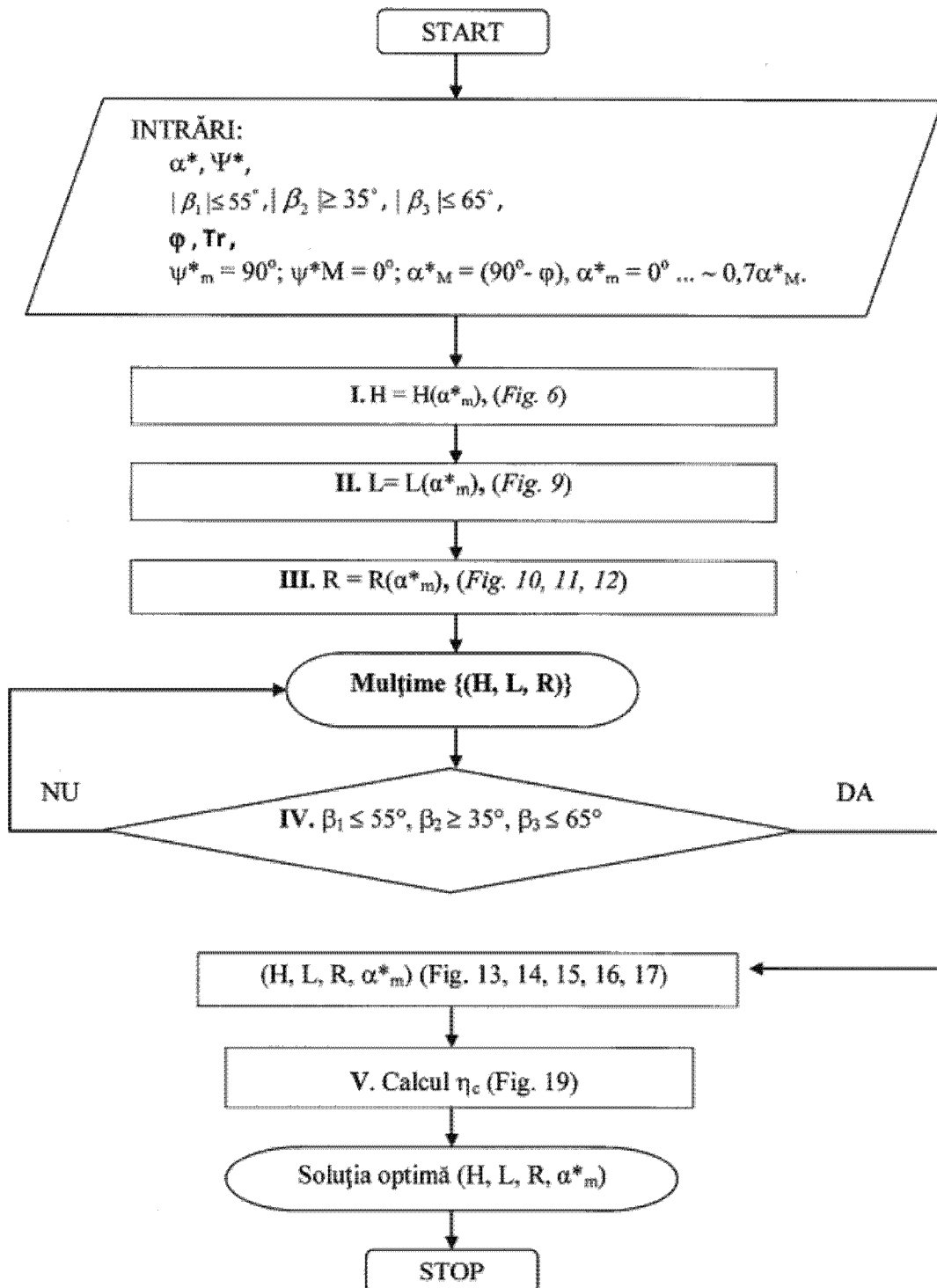


Fig. 20

